

Postupci desalinizacije vode koriš enjem solarne energije i f-chart metoda prora una

ANDRIJA A. PETROVI , Univerzitet u Beogradu,
Mašinski fakultet, Beograd

MILAN D. GOJAK, Univerzitet u Beogradu,
Mašinski fakultet, Beograd

Stru ni rad

UDC:551.463:628.16

DOI:10.5937/tehnika1506975P

Usled ubrzanog rasta populacije, klimatskih promena uzrokovanih više decenijskim zaga ivanjem životne sredine potrebe za pićem vodom rastu dok broj slatkih voda širom sveta opada. Moguće rešenje ovih problema nalazi se u primeni desalinizacije voda. U radu su prikazana tri tipa sistema za desalinizaciju koriš enjem solarne energije. Uz princip rada sistema navedene su prednosti i mane desalinizacije humidifikacijom, reverznom osmozom i uparavnjem. Pomoću f-chart metode izvršena je simulacija rada upariva kog sistema za desalinizaciju koriš enjem solarne energije na geografskoj širini od 42°N, koja odgovara položaju juga Srbije. Analizirani su rezultati rada sistema i prikazani grafi ki u vidu udela solarne energije u ukupnoj potrebnoj energiji u toku godine.

Klju ne re i: desalinizacija, solarna energija, f-chart metoda, uparavne, humidifikacija, reverzna osmoza

1. UVOD

Desalinizacija morske vode predstavlja jedan od najvažnijih tehnoloških procesa koji se značajno razvija u godinu povećava. Proces desalinizacije se bazira na tehnikama prečišćavanja vode u smislu eliminisanja ili smanjenja koncentracije soli i drugih mineralnih rastvoraka na nivo neophodan za piće ili sanitarnu upotrebu. Cena procesa diktira i tehnologiju koja će biti primenjena u procesu desalinizacije. Veliki broj ovih procesa danas zahteva visoke investicione troškove stoga su ocene rentabilnosti projekta bitan faktor u izboru postupka desalinizacije. Desalinizacija morske vode se može izvršiti na nekoliko načina:

- Reverzna osmoza je proces suprotan osmozi gde se visokim pritiskom nasuprot osmotskog vrši razdvajanje rastvara (vode) od rastvorka. Prilikom toga dobija se praktično čist rastvar (voda) sa malom koncentracijom mineralnih materija, sa jedne strane membrane, i koncentrovani rastvor, sa druge strane membrane.
- Uparavanje je operacija koncentrovanja rastvora koji nije tečni rastvar (voda) i neisparljivi rastvorak (soli), a koja se sastoji u delimičnom ispa-

ravanju te nog rastvara a (vode) iz osnovnog rastvora [1]. Usled toga je neophodno zagrevati rastvor do temperature ključne koja zavisi od pritiska u sistemu.

- Jonoizmenjiva ke smole koriste se za uklanjanje nepoželjnih sastojaka metodom izmene jona. Ovaj postupak je manje zastupljen pri desalinizaciji vode i najčešće se koristi za demineralizaciju vode, pri korišćenju vode u industrijskim procesima, a u cijelu zaštite opreme od korozije i stvaranja nalepkaka (npr kamenac).

Današnji trendovi se zasnivaju na što zastupljenjem korišćenju obnovljivih izvora energije pri desalinizaciji vode. Pored velikog broja tehničkih rešenja nije jasno definisano koji je proces proizvodnje desalinizovane vode najefektiviji. Tema ovog rada se odnosi na procese proizvodnje desalinizovane vode korišćenjem solarne energije. U radu su predstavljena tri moguća postupka desalinizacije vode na solarnu energiju. Tako je na konkretnom primeru upravo kog sistema će biti pokazana primena f-chart metode u cilju simulacije rada solarnog sistema.

2. SISTEMI DESALINIZACIJE MORSKE VODE KORIŠ ENJEM SOLARNE ENERGIJE

U okviru sistema za desalinizaciju morske vode korišćenjem solarne energije razlikujemo dve osnovne vrste sistema:

Adresa autora: Andrija Petrović, Univerzitet u Beogradu, Mašinski fakultet, Beograd, Kraljice Marije 16

Rad primljen: 11.10.2015.

Rad prihvaten: 16.10.2015.

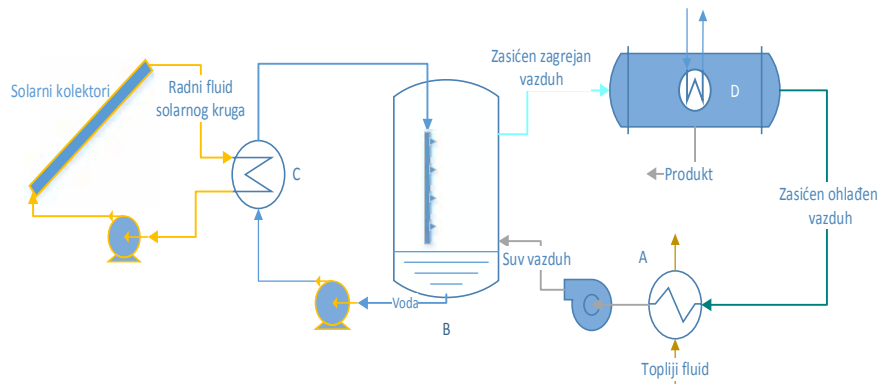
- Upariva ki sistemi – dozra na energija sun evog zra enja se transformiše u topotu u cilju zagrevanja rastvora radi isparavanja rastvara a (vode). Moguće je korišćenje solarne energije kao jedinog izvora topote ili kao dopunskog izvora;
- Sistemi koji solarnu energiju koriste radi dobijanja električne energije posredstvom Stirlingovog, organskog Rankinovog ciklusa (ORC) ili na neki drugi način radi dobijanja električne energije koja se koristi u cilju rada visokopritisnih pumpi u okviru procesa reverzne osmoze;
- Sistemi bazirani na procesu humidifikacije – transportu rastvara a, vode, iz rastvora u relativno sružen vazduh i zatim njegovo hlađenje i zagrevanje.

3. SISTEM DESALINIZACIJE MORSKE VODE POSTUPKOM HUMIDIFIKACIJE

Humidifikacija vode podrazumeva proces vlaženja i sušenja vazduha. Jedan od šematskih prikaza procesa

desalinizacije vode humidifikacijom prikazan je na slici 1. Proces počinje zagrevanjem slane vode korišćenjem ravnih plastičnih kolektora. Topla voda potom struji iz zagrejača a vode (C) u uređaj za ovlaživanje vazduha (B). Ovaj uređaj na sebi ima brizgaljke kojima prethodno zagrejanu vodu disperguje u sitne kapljice. Disperzijom vode u sitne kapljice povećava se površina kontakta između vode i vazduha zbog čega dolazi do povećanja molskog fluksa nastalog usled hemijske neravnoteže između nezasićenog vazduha i kapljica dispergovane vode i vazduh se vlaži do stanja zasićenja (relativna vlažnost 100%).

Zagrevanje vode obavlja se radi nadoknade učinkovačnosti topotnih gubitaka nastalih isparavanjem. Za razliku od vode, vazduh pre kontaktira sa istom ulazi u uređaj za zagrevanje vazduha (A), kako bi mu se smanjila relativna vlažnost. Potom tako zagrejan vazduh odlazi u uređaj za vlaženje (B) gde biva zasićen vodom. Nakon tога vazduh odlazi u kondenzator (D), gde se hlađenjem kondenzuje vodena para.



Slika 1 - Sistem desalinizacije morske vode postupkom humidifikacije

Zasićen vazduh niskog parcijalnog pritiska zasićen je vode ponavlja ciklus sa početkom.

Za odvijanje ovakvog procesa potrebno je obezbediti hlađenje, ventilator za strujanje vazduha, pumpu za morskou vodu i rezervoar za odvođenje slatke vode. Prednost ovog procesa je u potrebnoj temperaturi vode i vazduha koje nisu visoke pa se ravnili plastični kolektori, kao najjeftiniji, mogu koristiti. Nedostatak se odnosi na veliku količinu vazduha koju je neophodno obezbediti u cilju ostvarivanja zadatog protoka desalinizovane vode. Velika količina vazduha povećava dimenzije ventilatora, cevovoda i prateće armature i implicira rast investicionih troškova, [2].

4. SISTEM DESALINIZACIJE MORSKE VODE REVERZNOM OSMOZOM

Procesi reverzne osmoze su danas jedni od najsjapljenijih, za najmanje utrošene energije može se dobiti najviše piće vode. Iako sam proces ne daje vodu visokog kvaliteta, kao što je voda za vakcine, voda je

dovoljno visokog kvaliteta za piće i sanitarnu upotrebu.

Na slici 2 prikazan je postupak proizvodnje električne (mehaničke) energije posredstvom solarnog ORC-a, koji pogoni visoko pritisnu pumpu u okviru procesa reverzne osmoze.

Na in funkcijanju postrojenja zasniva se na zagrevanju solarnog fluida u paraboličnim kolektorima zatim razmenjujući topotu posredstvom isparivača (pregrejača) i predgrejača pomoću koga organski fluid prelazi u stanje pregrijane pare. Nakon ekspanzije u turbinu par ORC fluida odlazi u kondenzator gde topot predaje vodi koja odlazi u proces reverzne osmoze. Nakon kondenzacije i pothlađivanja tehnologija odlazi u pumpu u cilju povišenja pritiska i proces se ponavlja kao početak.

Pritisak vode na izlazu iz visoko pritisne pumpe se kreće u granicama od 40 do 82 bar-a. Zahtevani veliki rad pumpe je smanjen posredstvom razmenjivača pritiska (pressure exchanger), i princip rada se može

predstaviti redno povezanom turbinom i pumpom. Posredstvom razmenjivača a pritiska potreban jedini ni rad pumpe je znatno niži usled smanjenja protoka. Stepen korisnosti ORC-a zavisi od dozra ne energije sun evog zračenja. Prednosti postrojenja se ogledaju u niskoj ceni finalnog proizvoda. Mane su prvenstveno vezane za visoke investicione troškove i fiksne operativne troškove, odnosno troškove održavanja.

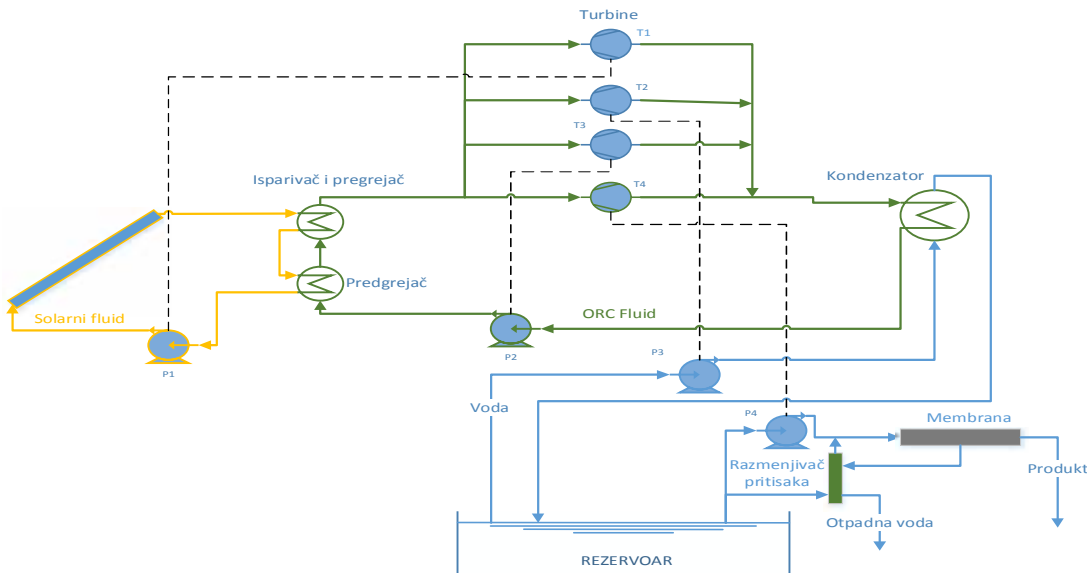
U slučaju da je visokopritisna pumpa frekventno regulisana, i da je proces „razmene pritisaka“ idealan, bez potrebe za buster pumpom, posmatraju i membranu za preišavanje kao lokalni otpor pri strujanju i smatraju i da je rezervoar iste vode na istoj visini kao

i rezervoar napojne vode, sledi da je ukupna zapreminska protok vode dobijena u procesu:

$$\dot{Q} = \sqrt[3]{\frac{y_{ORC} \cdot Q_{doz} \cdot y \cdot D^4 \cdot f}{8 \cdot (\zeta_{membrana} + \sum_i \zeta_i + \zeta_f) \cdot \frac{l}{D}}} \quad (1)$$

$$\dot{Q} = \sqrt[3]{\frac{f(Q_{doz}) \cdot Q_{doz} \cdot y \cdot D^4 \cdot f}{8 \cdot (\zeta_{membrana} + \sum_i \zeta_i + \zeta_f) \cdot \frac{l}{D}}} \quad (2)$$

Prisustvo akumulatora za skladištenje topline je poželjno u cilju mogućnosti proizvodnje tokom noći i smanjenja oscilacija u proizvodnji.



Slika 2 - Sistem desalinizacije morske vode reverznom osmozom

5. PRIMENA F-CHART METODE ZA SIMULACIJU RADA SISTEMA ZA DESALINIZACIJU VODE UPARAVANJEM

Postrojenje za desalinizaciju morske vode uparanjem sastoji se od sistema za solarno predgrevanje vode, razmenjivača topote sa kotlom za zagrevanje, prigušnog ventila, kompresora, uparivača stanice, pumpne stanice, i bojlera, odnosno akumulatora topote.

Kao radni fluid u okviru proizvodnog ciklusa koristi se voda, dok se kao radni fluid u solarnom krugu koristi mešavina vode i propilen glikola. Prednosti koristi enja postrojenja ovakvog tipa ogledaju se u mogućnosti dobijanja voda visokog kvaliteta i moguće su u koristi enja istih u manjim ili većim kapacitetima. Nedostaci se odnose na cenu finalnog proizvoda koja je viša u odnosu na proces desalinizacije reverznom osmozom.

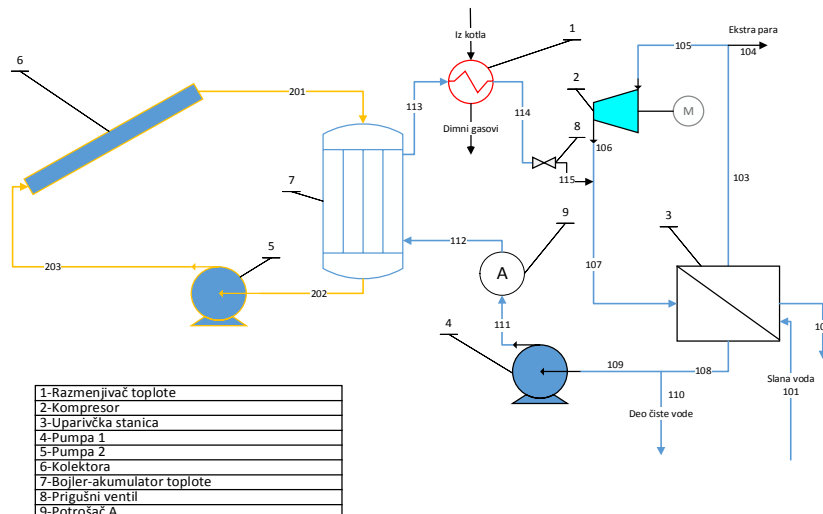
Analizirano postrojenje, prikazano na slici 3, radi 5,5 h dnevno sa konstantnom proizvodnjom. Princip rada postrojenja zasniva se na predgrevanju i isparavanju vode pomoću solarnog zagrejača i kotla, nakon čega vodena para odlazi u prigušni ventil u cilju

redukcije radnog pritiska, posle čega se meša sa vodenom parom nastalom uparanjem desalinizovane morske vode. Vodena para odlazi u uparivač prilikom čega se kondenzuje odnosno svoju toplotu predaje slanoj vodi i isparava je.

Jedan deo kondenzata se odvaja i kao destilovana voda odlazi na dalju hemijsku obradu, dok drugi deo kondenzata toplotnu energiju predaje potrošaču u A, i odlazi u akumulator topline. Deo vodene pare nastale uparanjem slane vode odlazi u vidu ekstra pare kao radni fluid u dalje tehnološke procese, dok se drugi deo meša sa vodom (vodenom parom) iz akumulatora.

Princip rada solarnog kruga zasniva se na ciklonom kretanju radnog fluida prilikom čega isti dobija toplotu od strane sunčevog zračenja, a toplotu dalje predaje vodi radi njenog predgrevanja u akumulatoru.

Cilj solarnog kruga zasniva se da u letnjim mesecima ima najveću udeo u predgrevanju vode od 20°C do 100°C. Solarni krug je dimenzionisan za najveću toplotni fluks u mesecu julu, stoga je potrebno dodati dodatnu toplotu posredstvom kotla radi isparavanja i predgrevanja.



Slika 3 - Sistem solarne desalinizacije morske vode posredstvom uparavanja

6. ODREĐIVANJE POVRŠINE I BROJA KOLEKTORA

U upariva u sa mehaničkom kompresijom se uparava 1,7 t/h morske vode od 0,033 kgA/kg(A+B) do 0,075 kgA/kg(A+B). Gde se indeks A odnosi na soli, a indeks B na vodu. Temperatura sirovine iznosi 25°C, pritisak u separacionom prostoru je 0,12 bar, a pritisak u grejnom telu 0,2 bar. Stepen dobrote adiabatske kompresije iznosi 0,75. Potrebno je odrediti

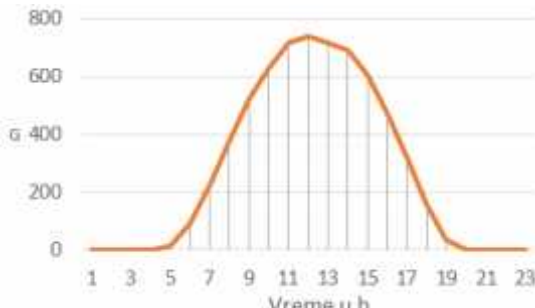
posredstvom ovih podataka stanje kondenzata na izlazu iz procesa, stanje vodene pare na izlazu iz sekundarnog zagreja vode, kao i količinu vode koja prolazi kroz akumulator topline i koliko vodene pare koja se odvaja i ulazi u kompresor.

Sve vrednosti entalpija su uzete za istu vodu, u cilju pojednostavljenja proračuna zanemari se i temperaturska depresija morske vode. Veličine stanja određene su toplotnim bilansim i date su u tabeli 1.

Tabela 1. Veličine stanja fluida u postrojenje

R.br	Maseni protok	Fluid	Specifična entalpija	Maseni udio	Pritisak
	kg/h		kJ/kg	kgA/kg(A+B)	bar
101.	1700	Voden rastvor	104,84	0,033	0,12
102.	748	Voden rastvor	206,89	0,075	0,12
103.	952	Vodena para - suvozasi ena	2590	0	0,12
104.	476	Vodena para - suvozasi ena	2590	0	0,12
105.	476	Vodena para - suvozasi ena	2590	0	0,12
106.	476	Vodena para - pregrejana	2679,94	0	0,2
107.	1016	Vodena para - pregrejana	2580	0	0,2
108.	1016	Voda - ključala te nost	259,39	0	0,2
109.	540	Voda - ključala te nost	259,39	0	0,2
110.	476	Voda - ključala te nost	259,39	0	0,2
111.	540	Voda - ključala te nost	259,39	0	0,2
112.	540	Voda - pothla ena te nost	125,83	0	1
113.	540	Voda - ključala te nost	417,43	0	1
114.	540	Vodena para - suvozasi ena para	2505	0	1
115.	540	Vodena para - pregrejana para	2505	0	0,2
201.	1764	Voda 55% - propile glikol 45%	483,26	0	3
202.	1764	Voda 55% - propile glikol 45%	394,67	0	3
203.	1764	Voda 55% - propile glikol 45%	394,67	0	3

Planirano postavljanje solarnih kolektora je u pravcu juga što znači da je azimut površine jednak 0° , a takođe se na osnovu preporuka usvaja da je kolektor u fiksnom položaju pod nagibom od 42° . Na slici 4. prikazana je prosečna vrednost sunčevog zračenja po satima za mesec jul.



Slika 4 - Globalno sunčev zračenje za mesec jul satovno uprošeno

Usvojeno je da je površina terena oko kolektorskog polja šljunkovita, pa je na osnovu toga, posredstvom softvera [3], uzet u obzir i uticaj refleksije sunčevog zračenja.

Na osnovu usvojenog toplotnog fluksa od $740,9 \text{ W/m}^2$ i izabranog tipa vakuumskih kolektora Viesmann Vitsol 300-t, određeno je stepen korisnosti za vrednost maksimalne vrednosti ambijentalne temperature od $26,68^\circ\text{C}$ i različite stepen korisnosti posredstvom sledećih formula:

$$Y_{kol} = Y_o - a_1 \cdot \frac{t_m - t_a}{G} - a_2 \cdot \frac{(t_m - t_a)^2}{G} \quad (3)$$

Za izradu unatarnog stepena korisnosti koji iznosi $0,583$ određena je potrebna površina kolektora, koja iznosi $100,45 \text{ m}^2$, a broj kolektora je 49 . Posredstvom preporuka proizvođača da svakom metru kvadratnom kolektora odgovara zapremina akumulatora topline od 50l , usvojen je akumulatori zapremine 5200 l .

7. SIMULACIJA RADA SOLARNOG SISTEMA

F-chart je metod simulacije rada solaranog sistema.

Ova metoda je posebno korisna za uprošćene simulacije solarnih sistema bez postavljanja složenih bilansnih jednačina. Cilj metode zasniva se na izračunavanju faktora f , udela tople vode zagrevane solarnim sistemom u ukupnoj toploj vodi koja je predviđena da se troši posredstvom solarnog sistema u cilju zadovoljenja korisnika [4].

Kada se izračuna f može se utvrditi kolika je obnovljive energije koja zamjenjuje konvencionalnu energiju za zagrevanje tople vode. Metoda se zasniva na obračunu mesečnog iznosa energije isporučene sistemom tople vode sa skladištenjem, sa obzirom na

mesečne vrednosti prolaska solarnog zračenja i temperature okoline.

Faktor f određuje se u zavisnosti od parametara X i Y .

Parametar X je odnos toplotnih gubitaka kolektora i ukupnog toplotnog opterećenja koje je potrebno zadovoljiti solarnim sistemom. Parametar Y je odnos apsorbovane dozare neenergije i ukupnog toplotnog opterećenja koje je potrebno zadovoljiti solarnim sistemom. Dve bezdimenzionalne veličine izračunavaju se kao:

$$X = \frac{A_c \cdot F_R \cdot U_L \cdot (T_{ref} - \bar{T}_a) \cdot \Delta t}{Q} \quad (4)$$

$$Y = \frac{A_c \cdot F_R \cdot (\bar{T}_a) \cdot H_T \cdot N}{Q} \quad (5)$$

S obzirom na to da je F-chart metoda uračuna za skladišni kapacitet od 75l po m^2 površine kolektora, samim tim mora se korigovati vrednost X na osnovu preporuka [4]:

$$\frac{X_c}{X} = (50 / 75)^{-0,25} \quad (6)$$

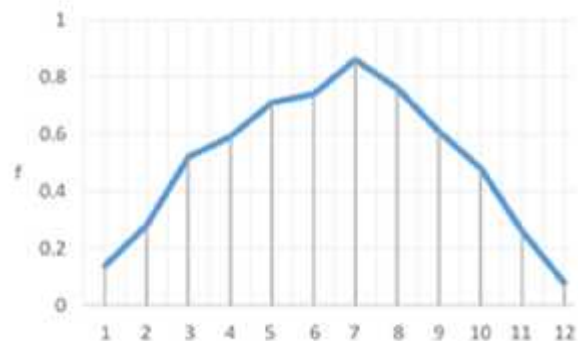
Predhodni izraz važi za uslove gde je vrednost ovog odnosa u opsegu od $0,5$ do 4 . U okviru F-chart metode uvođe se još neke korekture koje se odnose na akumulator topline tj. na trenutnu radnu temperaturu u sistemu. Veličina korekture X se određuje kao:

$$\frac{X_c}{X} = \frac{11.6 + 1.18 \cdot T_w + 3.86 \cdot T_m - 2.32 \cdot \bar{T}_a}{100 - \bar{T}_a} \quad (7)$$

Nakon ovoga faktor f se određuje iz sledećih relacija:

$$f = 1.0400 \cdot Y - 0.065 \cdot X - 0.159 \cdot Y^2 + 0.00187 \cdot X^2 - 0.0095 \cdot Y^3 \quad (8)$$

Za konkretan primer postrojenja na osnovu izloženog postupka u tabeli 2 prikazane su osnovne veličine i udeli sunčevog zračenja u ukupnom opterećenju.



Slika 5 – Udeo solarnog zračenja

Na slici 5 i 6 prikazani su grafi ki rezultati dobijenih simulacijom F-chart metodom.

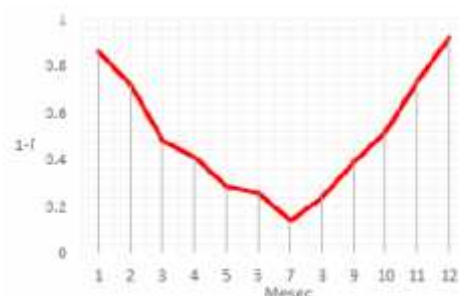
Na slici 5 prikazan je udeo energije solarnog zrajenja u predgrejanju vode, dok je na slici 6 prikazan

udeo toplote iz kotla u predgrevanju tokom godine. Vidi se da je najniži udeo solarne energije u januaru kada je intenzitet sun evog zra enja najniži, a najviši u julu.

Tabela 2. Osnovne veličine F-chart metode

Mesec (redni broj)										
1.	2.	3.	4.	5.	6.	7.	8.	9.	10.	11.
1,27	1,25	1,19	1,11	1,05	1,01	0,99	0,99	1,04	1,11	1,20
0,31	0,46	0,75	0,83	0,97	1,01	1,19	1,03	0,84	0,68	0,44
1,106										
2,07	2,06	2,05	2,03	2,01	2,00	2,00	2,00	2,01	2,03	2,05
2,90	2,84	2,70	2,51	2,33	2,24	2,19	2,19	2,32	2,50	2,72

Zaključak je da solarna energija itekako može da smanji korištenje energije iz klasičnih izvora, posebno u letnjim mesecima gde njen udio ide i do 86%.



Slika 6 - Udeo dodatnog izvora toplove

7. ZAKLJUČAK

Radom su prikazani neki od osnovnih principa desalinizacije vode koriš enjem solarne energije. Nesumnjivo je da e u budu nosti još ve i zna aj biti stavljen na ovu tematiku posebno u oblastima vezanim za što efikasnije koriš enje energije uz minimizaciju troškova. Primerom je pokazano da se i najjednostavnijim metodama uparavanja postupkom desalinizacije može ostvariti ušteda, odnosno smanjiti ideo potrošnih izvora energije. Naravno iako su danas specifi ni investicioni troškovi solarnih postrojenja izuzetno visoki, posebno za podru je Republike Srbije,

snižavanjem cena solarnih sistema kolektora i neminovnim poskupljenjem korišenja neobnovljivih izvora energije period povrata aja solarnih postrojenja (payback period) e se snižavati. Obzirom na sve manje dostupne izvore slatke vode, a posebno u tropskim krajevima Afrike i na predelu Bliskog Istoka istraživanje u oblastima solarne desalinizacije morske vode je od izuzetnog značaja

LITERATURA

- [1] , , , , , 1992.
 - [2] Parekh S, Farid M. M, Selman J. R, Al-Hallaj S, Solar desalination with a humidification-dehumidification technique—a comprehensive technical review, Desalination, 160(2), 167-186, 2004.
 - [3] *** www.solar.mas.bg.ac.rs (10.03.2015)
 - [4] Beckman W. A, Klein S. A, Duffie J. A, Solar heating design, by the f-chart method, NASA STI/Recon Technical Report A,78, 31071, 1977.
 - [5] Delgado-Torres A. M, García-Rodríguez L, Comparison of solar technologies for driving a desalination system by means of an organic Rankine cycle, Desalination, 216(1), 276-29, 2007.

SUMMARY

PROCEDURES OF WATER DESALINATION WITH SOLAR ENERGY AND F-CHART METHOD

Due to rapid population growth, and climate change caused by environmental pollution needs for drinking water are increasing while amount of freshwater are decreasing. However possible solution for freshwater scarcity can be found in water desalination procedures. In this article three representative water desalination solar powered plants are described. Except explanation of processes it is also mentioned basic advantages and disadvantages of humidification, reverse osmosis and desalination evaporation by using solar energy. Simulation of the solar desalination system is analyzed with f-chart method monthly, located on located 42 degrees north latitude

Key words: desalination, solar energy, f-chart, evaporation, humidification, reverse osmosis

Nomenklatura

A_c	Površina kolektora	m ²
a_1	Koeficijent toplotnih gubitaka solarnog kolektora	W/m ² K
a_2	Koeficijent toplotnih gubitaka solarnog kolektora	W/m ² K ²
	Koeficijent apsorpcije zračenja	
$membrana$	Koeficijent otpora membrane	
i	Koeficijent lokalnog otpora	
D	Unutrašnji prenik cevi	m
F_R	Faktor odvodenja toplote	
$F_{R'}$	Modifikovan faktor odvodenja toplote	
f	Udeo solarne energije u ukupno potrebnoj toploti	
G	Energija globalnog sunčevog zračenja po jedinici površine	Wh/m ²
H_T	Mesečni prosek energije dnevnog zračenja na površinu kolektora	J/m ²
l	Dužina cevi	m
	Koeficijent trenja	
N	Broj dana u mesecu	dan
P_{kor}	Korisna snaga	W
Q_{doz}	Energija globalnog zračenja po jedinici vremena	W
\dot{Q}	Zapreminska protok vode	m ³ /s
Q	Mesečna potrebna toplota	J
f	Gustina vode	kg/m ³
T_{ref}	Empirijska referentna temperatura	oC
\bar{T}_a	Prosečna mesečna temperatura okolnog vazduha	oC
T_m	Temperatura napojne vode rezervoara	oC
T_w	Minimalna potrebna temperatura napojne vode rezervoara	oC
t_m	Srednja temperaturna razlika	oC
t_a	Ambijentalna temperatura	oC
$\frac{\text{f}}{\text{f}}$	Mesečni efektivni proizvod propuštenog i apsorbovanog zračenja	
	Koeficijent transmisije prekrivke kolektora	
k_{ol}	Stepen korisnosti kolektora	
σ	Optički stepen korisnosti kolektora	
ORC	Stepen korisnosti ORC ciklusa	
	Stepen korisnosti pumpe	
t	Broj sekundi u mesecu	s
U_L	Koeficijent toplotnih gubitaka kolektora	W/m ² K
Y	Odnos apsorbovane energije i ukupno potrebne toploti	
X	Odnos toplotnih gubitaka i ukupno potrebne toploti	
X_c	Korekcioni faktor X	